

京都大学 農学部

南 熊

ゆか口上あては 従来数多くのアースダムの基礎地盤のひびき、崩壊性に関する研究が非常に多い。本報告は、アースダムの地震運動に対する場合の剪断振動の微小方程式を解き、その結果を应用して、耐震設計法を導くと共に、従来の設計法の耐震的弱点をもつての二点を明らかにし得た。

1. 振動、基礎方程式

$$\frac{\partial^2 w}{\partial t^2} = \frac{1}{\rho} \frac{\partial}{\partial x} \left(G \frac{\partial w}{\partial x} + Y_t \frac{\partial^2 w}{\partial x^2} \right) + \frac{1}{G} \frac{\partial}{\partial y} \left(G l \frac{\partial w}{\partial y} + Y_t L \frac{\partial^2 w}{\partial y^2} \right) \quad \dots \dots \dots \quad (1)$$

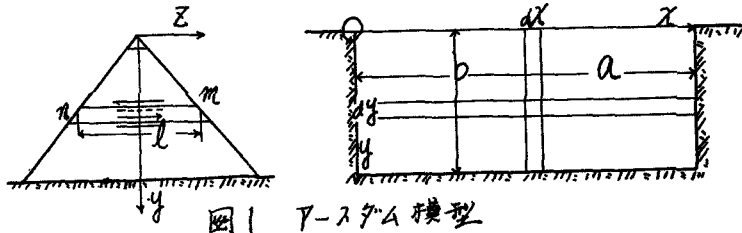


図1 アースダム模型

$\omega = K w$ = 振幅, t = 時間, ρ = 用土の密度
 x, y, z = 座標, G = 用土の剪断強度係数, Y_t = 用土の粘性係数, l = 任意高。基礎幅 a とす。 (1) 式は地中博士 K より用ひる。

を失う事なし。

2. 地盤振動と定常振動

地盤振動は次式で表す。

$$w = G \cos \omega t = G \cos \frac{2\pi}{T} t \quad \dots \dots \dots \quad (2)$$

 $\omega = K$, G = 最大振幅, T = 振動周期 = 3.

境界条件

$$x = 0, \quad w = G \cos \omega t.$$

$$y = 0, \quad \left(\frac{\partial w}{\partial y} \right) = 0. \quad \dots \dots \dots \quad (3)$$

$$x = a, \quad w = G \cos \omega t.$$

$$y = b, \quad w = G \cos \omega t.$$

解は次の如きを得る。

$$w = \sum_{n=0}^{\infty} \frac{2G}{b^2 [J_{0,0}]^2} \int_0^b J_0 \left(\frac{\pi n}{b} x \right) \sin \omega t dx - \frac{1}{C} (A \cos \omega t + B \sin \omega t) + \sum_{n=0}^{\infty} \frac{2G}{a} \sin \frac{n\pi t}{a} \int_0^a \sin \frac{n\pi x}{a} dx$$

$$\times \frac{(EF+GH)\cos \omega t + (EH-GF)\sin \omega t}{F^2 + H^2} \quad \dots \dots \dots \quad (4)$$

$$\omega = K, \quad A = \{ \sin m_a(a-x) \cosh m_a(a-x) + \sin m_a \cosh m_a(a-x) \} \sin m_a \cosh m_a + \{ \cos m_a(a-x) \sinh m_a(a-x) + \cos m_a \cosh m_a \} \cos m_a \sinh m_a$$

$$B = \{ \cos m_a(a-x) \sinh m_a(a-x) + \cos m_a \cosh m_a(a-x) \} \sin m_a \cosh m_a(a-x) - \{ \sin m_a(a-x) \cosh m_a(a-x) + \sin m_a \cosh m_a \} \cos m_a \sinh m_a$$

$$C = \sin^2 m\alpha \cosh^2 n\beta + \cos^2 m\alpha \sinh^2 n\beta$$

$$E = J_{0(m\alpha)} J_{0(n\beta)} + 2 \left[J_{1(m\alpha)} J_{0(n\beta)} + J_{0(m\alpha)} J_{1(n\beta)} \right]$$

$$F = J_{1(m\alpha)} J_{1(n\beta)} + J_{2(m\alpha)} J_{0(n\beta)} + \dots$$

$$G = J_{0(m\alpha)} J_{0(n\beta)} + 2 \left[J_{1(m\alpha)} J_{1(n\beta)} + J_{0(m\alpha)} J_{2(n\beta)} + \dots \right]$$

$$H = J_{1(m\alpha)} J_{1(n\beta)} + J_{2(m\alpha)} J_{0(n\beta)} + \dots$$

1例として $a = 150 \text{ m}$, $b = 50 \text{ m}$, $\sqrt{G_F} = 50 \%$, $\sqrt{F_F} = 5 \text{ m/s}$, 圆周回転 2.4 sec.

アースダムの $T = 1.24 \text{ sec}$ の定常振動モード図を図2(a)に示す。左端の振幅は地盤振幅との比を取った。図2(a)の計算結果を見ると、変位は頂点付近で最も非対称性が大きい。地盤振幅は約5

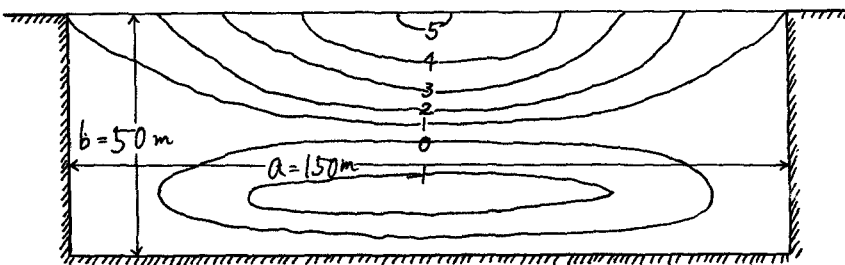


図2(a) 比振幅、比応力分布図

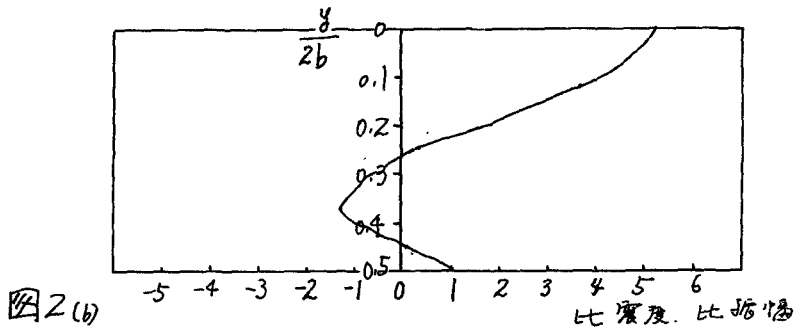


図2(b) 比振幅

分布である。

3. 加速度分布

加速度は変位式(4)と式(1)を用いて得られる。変位と同様、一般には速度付近で最大となり、y軸の重力加速度の割合では図2と同じ速度分布となる。

4. アースダムの地震設計

アースダムの各高さにおける応力分布を算出する。各層は底面よりダム堤体の一定勾配を有するとしてある。二層境界速度付近の断面上の応力分布を示す。

壁は剛で、地盤振幅は約5
倍以上である。
・土反発の振
動加速度部分
が大きい。

$$m_3 < \frac{2.414}{b}$$

・條件より
小さな $m_3 = 3$
日 重力
想定上不 増
数より速度付
近で $m_3 = 1$
2 一様に増加
3 3. 図2(b)
4. ダム中央
は太い土筋構